

である。 β : 運動量補正係数、 $\bar{P}^* = P^* / (1/2 \rho \bar{u}^2)$: 単位体積あたりの断面平均運動エネルギーで無次元化された差圧、 P^* : 無次元差圧の断面平均値、 \bar{f} : 界面摩擦抵抗係数、 $F_0 = Q / (\epsilon g h_0^3 \beta^2)^{1/2}$: 静水圧分布を反定した淡水の内部フルード数、 Q : 淡水流量、 $h_1^* = h_1 / h_0$ 、 $x^* = x / h_0$ 、 h_0 : 河口での淡水深、である。

K_1 、 K_2 に含まれている β 、 P^* は、原理的には、 x 、 y 、 z 方向の運動方程式を完全に解くことによって決定される。しかし、これらの方程式は非線形になるために、解析的に解くことは不可能である。ところが、本研究で対象としているような総流を伴って流出する流れは、せん断力の効果よりも、圧力の効果の方が、はるかに卓越しており、淡水の流れはポテンシャル流的にふるまうと考えられる。そこで、実験から得られた無次元界面形状 $h_1^*(x^*)$ を与え、 $x-z$ 平面内の淡水の流れをポテンシャル流れと近似し、数値計算より β 、 P^* を求める。

支配断面の生じる位置は、式(4)の分母・分子を河口から沖合にそれぞれ計算し、最初に、かつ同時にゼロになる場所である。淡水の流動幅を実験結果より、界面摩擦抵抗係数 \bar{f} を金式より求め、水理条件(Q 、 ϵ)を与えると、式(4)の分母・分子は $x^* \cdot h_0$ のみの関数となり、支配断面の位置と限界水深の大きさが決定される。さらに、水面形方程式(4)の分母=0のとき内部フルード数が1.0になるように、急変流の内部フルード数 F_{int} を新たに定義すると、次式を得る。

$$F_{int} = \sqrt{K_1 \cdot F_0} \quad (7)$$

図2は、数値計算(リラクゼーション法)から求められた界面での無次元差圧 P^* 、及び平均差圧 \bar{P}^* を示している。 $x^* = -1.5$ 付近から、 P^* の増加が激しくなり、河口付近で最大となっている。この値は、 \bar{f} に比べて非常に大きいものであり、流線の曲がりによる静水圧からの差圧の効果を無視できないことがわかる。図3は、流線の曲がり起因した係数 K_1 、 K_2 の変化を示している。河口から遠ざかると界面の曲率が小さくなるために、それぞれ漸変流の場合の値1.0に漸近していく。図4は、流線の曲率を考慮した本解析、及び従来の漸変流解析($K_1 = K_2 = 1.0$)での、支配断面の位置、及び界面形状を、実験結果と比較したものである。支配断面の位置は、両解析とともに河口のすぐ近傍となる。一方、河口での淡水深は、差圧を考慮した本解析の方が、実験値をよく説明していることがわかる。

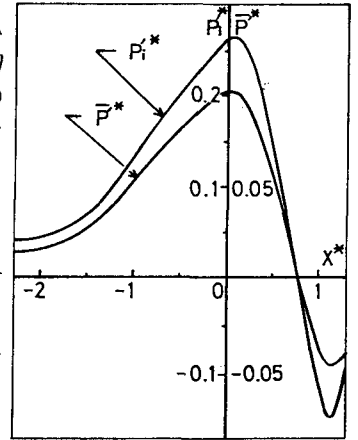


図2. 無次元差圧の変化

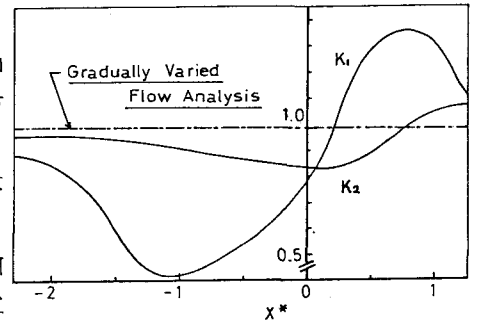


図3. $K_1(x^*)$ と $K_2(x^*)$ との変化

3. あとがき

本研究は流線の曲率の効果を考慮した急変流解析によって、支配断面の位置、及び限界水深の大きさを求めたものである。急変流解析では、本解析のように、界面形状を与えなければ解けない問題点を含んでいる。しかし、流線の曲がりの影響が大きな流れに対しては、従来の漸変流解析では、正確な知見は得られない。急変流解析のもつ問題点を1つ1つ解決する努力が必要であると考えている。

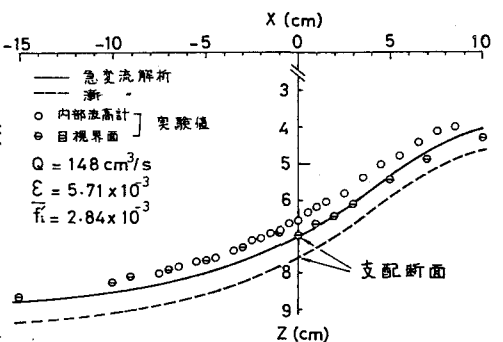


図4. 支配断面、及び界面形状の比較

参考文献 1). 吉田静男・柏村正和: 河口二成層の流れの構造の解析, 第25回海講, 1978.